

Základy přenosu záření

- LTE - jedna teplota
 dávkce rovnovážní:

$$f(v) dv = \left(\frac{m}{2\pi kT} \right)^{3/2} e^{-\frac{mv^2}{2kT}} dv$$

stavy v rovnováze:

$$\frac{u_j}{u_i} = \frac{g_j}{g_i} e^{-\frac{(E_j - E_i)}{kT}}$$

Boltzmann
 deg. počet
 deg. stavů

ionizace v rovnováze:

$$\frac{N_I}{N_{I+1}} = n_e \frac{u_I}{u_{I+1}} e^{-\frac{E_I}{kT}}$$

$$u_I = \sum_{j=1}^{\infty} g_j e^{-\frac{E_j}{kT}}$$

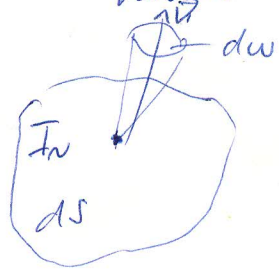
partiční funkce
 (osada velmi vysoce stavy v
 praxi nemastávají)

$n_e \sim N_p$ v oblaci plus ionizace vodíkem

(teplotní minimum problem)
 $n_e \sim (10-100) n_H$

→ nem' co řešit, intenzita je Planckova

LTE - TE platí lokálně pro dávkce, intenzita se
 nem' mění → přenos záření



$$dE = I(\vec{r}, \vec{n}, \nu, t) dS \cos \theta d\omega d\nu dt$$

$$dE = \chi(\vec{r}, \vec{n}, \nu, t) I(\vec{r}, \vec{n}, \nu, t) dS dS d\omega d\nu dt$$

absorpcie

$1/\chi = l$... střední volná dráha

absorpcie - pravda = foton absorbovan, obsor
 - neuvse = rozptyl

~~emise~~

lawe $dE = \gamma (\vec{r}, \vec{n}, \nu, t) dS ds d\omega d\nu dt$

rozumná'ka $\gamma = \chi B \dots$ Kirchhoffův zákon

nerozumná'ka $\frac{\gamma}{\chi} = S \dots$ zdrojová funkce

bilance:

$$\int [I(\vec{r} + \vec{\Delta r}, \vec{n}, \nu, t + \Delta t) - I(\vec{r}, \vec{n}, \nu, t)] dS d\omega d\nu dt =$$

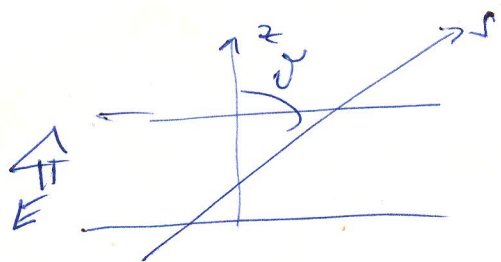
$$= \int [\gamma(\vec{r}, \vec{n}, \nu, t) - \chi(\vec{r}, \vec{n}, \nu, t) I(\vec{r}, \vec{n}, \nu, t)] dS ds d\omega d\nu dt$$

$$\Delta I = \frac{\partial I}{\partial s} ds + \frac{\partial I}{\partial t} dt = (ds = c dt) = \left(\frac{\partial I}{\partial s} + \frac{1}{c} \frac{\partial I}{\partial t} \right) ds =$$

$$= \left(\frac{\partial I}{\partial s} + \frac{1}{c} \frac{\partial I}{\partial t} \right) n \cdot \nabla$$

$$\Rightarrow \left[\frac{1}{c} \frac{\partial I}{\partial t} + (n \cdot \nabla) I = \gamma - \chi I \right]$$

stacionární' intenzita, planoparalelní' atmosféra



$$\frac{d}{ds} = \mu \frac{d}{dz}$$

$$\mu = \frac{dz}{ds} = \cos \theta = \mu$$

$$\Rightarrow RTE: \mu \frac{dI_\nu}{dz} = \gamma_\nu - \chi_\nu I_\nu \quad | : \chi_\nu$$

$$\mu \frac{dI_\nu}{d\tau_\nu dz} = \left(\frac{\gamma_\nu}{\chi_\nu} - I_\nu \right) \quad S_\nu; d\tau_\nu = -\chi_\nu dz$$

$$\Rightarrow \mu \frac{dI_\nu}{d\tau_\nu} = I_\nu - S_\nu$$

v_0 ... optická hloubka

S_0 ... zdrojová funkce

Elementární řešení RTE v planarální aproximaci

a) $\kappa=0, \eta=0$

nezavádíme opt. hloubku

$$\frac{dI}{dz} = 0 \rightarrow I = \text{konst.}$$

b) $\kappa=0, \eta>0, \mu \frac{dI_0}{dz} = \eta I_0$

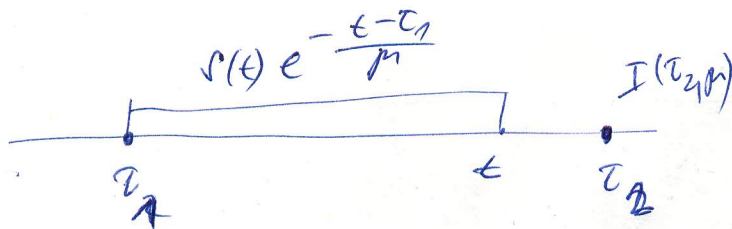
$$I(z, \mu) = I(0, \mu) + \int_0^z \eta(z') \frac{dz'}{\mu}$$

c) $\kappa>0, \eta=0$

$$\mu \frac{dI_0}{dz} = -\kappa I_0 \rightarrow I_0(0, \mu) = I_0(z, \mu) e^{-\kappa z / \mu}$$

d) ~~polovodičová atmosféra~~ formální řešení

$$I(\tau_1, \mu) = I(\tau_2, \mu) e^{-\frac{(\tau_2 - \tau_1)}{\mu}} + \int_{\tau_1}^{\tau_2} S(t) e^{-\frac{t - \tau_1}{\mu}} \frac{dt}{\mu}$$



e) polovodičová atmosféra

$$\tau_2 \rightarrow \infty, \tau_1 = 0$$

$$I(0, \mu) = \int_0^{\infty} S(t) e^{-\frac{t}{\mu}} \frac{dt}{\mu}$$

I v τ_2 se neprojeví přímo, ale
ovlivňuje $S(t)$

e1) Wnechání zdrojová funkce

$$S(\tau) = a + b\tau$$

~~RTE~~ ~~na~~

$$I(0, \mu) = \int_0^{\infty} (a + b\tau) e^{-\tau/\mu} d\tau =$$

$$= a \int_0^{\infty} e^{-\tau/\mu} d\tau + b\mu \int_0^{\infty} \frac{\tau}{\mu} e^{-\tau/\mu} d\tau =$$

$$= a [-e^{-x}]_0^{\infty} + b\mu [-e^{-x}(x+1)]_0^{\infty} = \frac{a + b\mu}{\mu}$$

Eddington-Barbier $\left\{ \begin{array}{l} \text{formálně} \\ I(0, \mu) = S(\tau = \mu) \end{array} \right.$

1. kolmo: $\tau = 1, I = S$

\rightarrow intenzita odpovídá zdrojové funkci
 $\tau = 1$

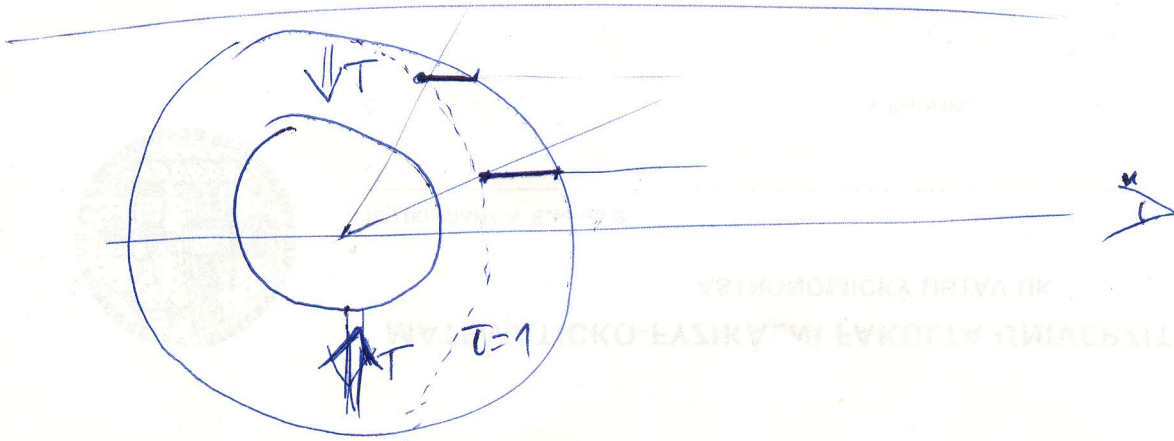
2. šikmo: $I \searrow a$

pokud $S \nearrow \tau \Rightarrow I \searrow \mu \rightarrow$ obrazové ztmavení

pro $\lambda > 160 \text{ nm}$

pro $\lambda < 160 \text{ nm}, S \searrow \tau \Rightarrow$ obrazové zjasnění

$S(\tau) = S_N(\tau) \Rightarrow$ různé dráhy
 různé hloubky



Rozptyl

elastický - Thomsonův - bez výměny energie
 neelastický - Comptonův - s výměnou energie

Thomsonův účinný průřez

$$\sigma_N^{EJ} = n_e \sigma_e$$

$$\sigma_N^{EJ} = n_e \sigma_e \frac{1}{2} \int_{-1}^1 I_N(\mu') g(\mu, \mu') d\mu' = n_e \sigma_e \int_N$$

pro izotropu
 : distribuce v úhlech
 : dává se

fotón se uhlaví - do jiného směru

$$\kappa_N^{tot} = \kappa_N^{term} + n_e \sigma_e$$

$$\chi_N^{tot} = \chi_N^{term} + n_e \sigma_e \int_N$$

$$\int_N = (1 - \epsilon_N) \int_N^{term} + \epsilon_N \int_N^{term} \quad \int_N^{term} = B_N$$

$$\epsilon_N = \frac{\chi_N^{term}}{\chi_N^{tot}} \quad \dots \text{pravd. zvidem' fotonu}$$

$$\int_N \sim \int \psi_0(r) \psi_0'(r) dr$$

Miller-Eddington

$$\rho \frac{dI}{dt} = I - S$$

přechod k momentům

$$\frac{dH}{dt} = J - S$$

$$\frac{dK}{dt} = H$$

+ Eddingtonova aproximace

$$K \sim \frac{1}{3} J \quad (\text{izotropní záření})$$

$$\frac{d^2 K}{dt^2} = J - S \Rightarrow \frac{4}{3} \frac{d^2 J}{dt^2} = J - S = \epsilon (J - B)$$

Momenty RTE r planparalléliu' aproximacii

$$J_N = \frac{1}{2} \int_{-1}^1 I_N(\mu) d\mu \quad \text{střední intenzita (přes sunořy)}$$

$$\left(= \frac{1}{4\pi} \oint I_N(\omega) d\omega = \frac{1}{4\pi} \int I_N(\theta, \varphi) \sin\theta d\theta d\varphi \right)$$

$$H_N = \frac{1}{2} \int_{-1}^1 \mu I_N(\mu) d\mu \quad \text{tok zářiví}$$

vědimo zářiví ve směru sunořech

$$K_N = \frac{1}{2} \int_{-1}^1 \mu^2 I_N(\mu) d\mu \quad \text{souvisí s tlakem zářiví}$$

$$\vec{K}_N = \frac{1}{2} \int \vec{\mu} \otimes \vec{\mu} I_N(\mu) d\mu \quad \text{tensor tlaku zářiví pro } \vec{\mu} = \mu \vec{n}$$

⇒ 1. moment RTE:

$$\frac{dH_N}{dt} = J_N - S_N$$

2. moment RTE:

$$\frac{dK_N}{dt} = H_N$$

$$\int \mu S_N d\mu = 0$$

↑
lidni ↑
suda' r μ

... systém nem' uzavřený

⇒ zavadi' se Eddingtsmír faktor

$$f_N^k = \frac{k_\nu}{J_N} \quad ; \quad (f_N^k = 1/3) \text{ pro } I_N \neq I_N(\mu)$$

$$\Rightarrow \frac{d^2 (f_N^k J_N)}{d\tau^2} = J_N - S_N \quad \text{Ite rivot}$$

diffúzní rovnice
Rosselandova aproximace

velká oparta - difúzní aproximace

Milne - Eddington

čárová (L) a. kontinua (C) absorpce a emise

$$k_N = k_N^C + k_N^L + \sigma \leftarrow \text{rozptyl v kontinuu}$$

$$dI_N = (k_N^C + k_N^L) dz \quad \psi_N = k_N^C + k_N^L + \sigma J_N$$

optická hloubka je větší než dříve než v kontinuu

~~Formulace dříve?~~

~~Barbier Eddington (S(C) = a + b(T))~~

~~v LTE: $J_N = B_N(T) = T \rightarrow z, S_N \rightarrow z$~~

~~→ absorpční odra~~

~~(pro stejné T musíme být v LTE s atmosférou, protože $\epsilon \sim k$ a k je větší)~~

RTE: $\mu \frac{dI_N(\mu)}{dz} = (k_N^C + k_N^L + \sigma) I_N - E_N^C - E_N^L - \sigma J_N$

+ LTE v kontinuu: $\frac{E_N^C}{k_N^C} = B_N(T)$

+ v kontinuu rozptyl zanedbatelný, $\sigma \ll k_N^C$
 + dvoukladový atom

$$\mu \frac{dI_N}{dz} = (k_N^C + k_N^L) \left[I_N - \frac{k_N^C}{k_N^C + k_N^L} B_N + \frac{k_N^L}{k_N^C + k_N^L} J_N^L \right]$$

pro $B_N = \frac{k_N^L}{k_N^C}$; $dI_N = (k_N^C + k_N^L) dz = k_N^C (1 + B_N) dz$

$$\lambda_N = \frac{1 + \epsilon B_N}{1 + B_N} \quad \epsilon \in \mathbb{R} \quad J_N^L = (1 - \epsilon) \int_0^\infty \psi_N J_N d\mu + \epsilon B_N(T)$$

$$\Rightarrow \mu \frac{dI_N}{d\tau_N} = I_N - \lambda_N B_N - (1 - \lambda_N) \int_0^\infty \psi_N J_N d\mu$$

+ λ_N, ϵ a B_N konstantní v hloubkách

+ B_N lineární v optické hloubce v kontinuu

$$B_N = a + b v_c$$

$$d v_c = \frac{d v_N}{1 + \beta_N} \quad ; \quad v_c = \frac{v_N}{1 + \beta_N}$$

$$+ \int \psi_N \psi_N d v_N \sim \psi_N$$

+ Eddingtonova aproximace

$$K_N = \frac{1}{2} \int_{-1}^1 \mu^2 I_N(\mu) d\mu = \frac{1}{3} \psi_N$$

$$H_N(0) = \frac{1}{\sqrt{3}} \psi_N(0) \quad \text{okrajová podmínice}$$

cíl:

$$\mu \frac{d I_N}{d v_N} = I_N - \lambda_N B_N - (1 - \lambda_N) \psi_N$$

momenty: $\frac{d H_N}{d v_N} = \psi_N - \lambda_N B_N - (1 - \lambda_N) \psi_N$

$$\frac{d K_N}{d v_N} = H_N \Rightarrow \frac{d^2 K_N}{d v_N^2} = \frac{d H_N}{d v_N} = \psi_N - \lambda_N B_N - (1 - \lambda_N) \psi_N$$

$$\Rightarrow \frac{1}{3} \frac{d^2 \psi_N}{d v_N^2} = \lambda_N (\psi_N - B_N)$$

$$B_N \text{ lineární v } v \Rightarrow \frac{1}{3} \frac{d^2 B_N}{d v_N^2} = 0, \text{ tedy}$$

$$\frac{1}{3} \frac{d^2}{d v_N^2} (\psi_N - B_N) = \lambda_N (\psi_N - B_N)$$

Řešení: $\psi_N - B_N = a_N e^{-\sqrt{3 \lambda_N} v_N} + b_N e^{\sqrt{3 \lambda_N} v_N}$

okrajové podmínky: $v_N \rightarrow \infty: \psi_N \rightarrow B_N \rightarrow \lambda_N = 0$

$$v_N = 0: H_N(0) = \frac{1}{\sqrt{3}} \psi_N(0)$$

$$\frac{d K_N}{d v_N} = \frac{1}{3} \frac{d \psi_N}{d v_N} = H_N \quad \left. \frac{1}{3} \frac{d \psi_N}{d v_N} \right|_{v_N=0} = H_N(0) = \frac{1}{\sqrt{3}} \psi_N(0)$$

$$\psi_N(0) = a_N + B_N(0) = a_N + a = \frac{\sqrt{3}}{3} \frac{d \psi_N}{d v_N} \Big|_{v_N=0} = \psi_N(0) = 20 =$$

= 20 =

~~$$J_N = B_N = A + B$$~~

$$\Rightarrow \frac{1}{\sqrt{3}} \frac{dB_N}{d\tau_N} \Big|_{\tau_N=0} = \frac{1}{\sqrt{3}} \left[-\alpha_N \sqrt{3\lambda_N} + \frac{b}{1+B_N} \right] = \alpha_N + a$$

$$\frac{dB_N}{d\tau_N} = \frac{dB_N}{d\tau_N} \frac{1}{1+B_N} = B_N = a + b\tau_N$$
$$= \frac{b}{1+B_N}$$

$$\Rightarrow \alpha_N = \frac{\frac{b}{1+B_N} - \sqrt{3}a}{(\sqrt{3} + \sqrt{3\lambda_N})}$$

podaci definicije $p_N = \frac{b}{1+B_N}$

$$J(\tau) = a + p_N \tau_N + \frac{p_N - a\sqrt{3}}{\sqrt{3} + \sqrt{3\lambda_N}} e^{-\sqrt{3\lambda_N} \tau_N}$$

terminalizacijski koeficijent $\tau_N = \frac{1}{\sqrt{\lambda_N}}$

$J_N \rightarrow B_N$

Inverze spektrálního dár

- ziskat model atmosféry, který nejlépe reprodukuje pozorované profily spektrálního dár
 - paralelní atmosféra, lineární \int setn' spektrálního dár

$$I_N(0, \mu) = \int (T = \mu) \quad \text{pro } S(T) = a + bT$$

přes profil dárky χ_N se mění (v čáře je vektor)

~~potřeba~~

N LTE: $S_N = B_N(T) : \quad \text{pro } T \rightarrow z, \quad S_N \rightarrow z$

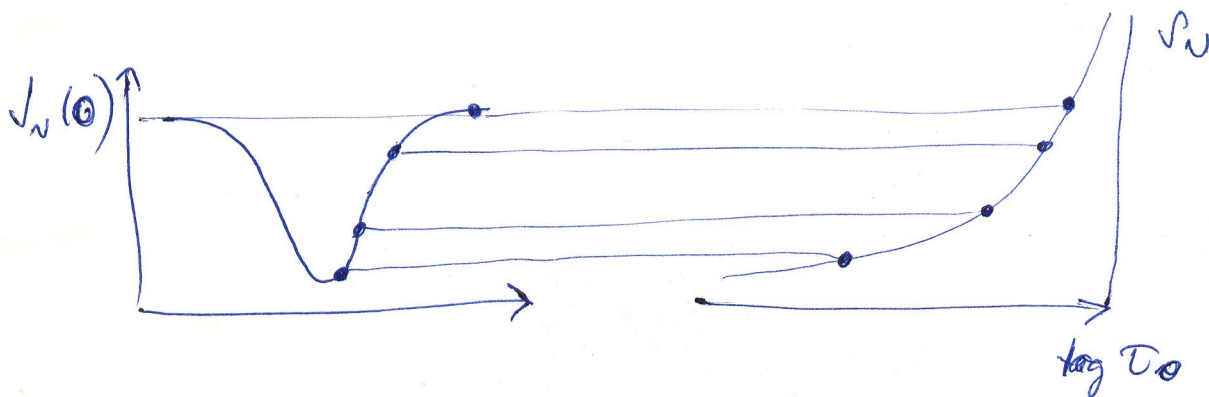
$$S_N = \frac{q_N}{\chi_N}$$

\Rightarrow pro $\chi_N \uparrow \quad S_N \downarrow$

\Rightarrow v čáře jsme pro daný μ vybrali v atmosféře

potřebujeme S_N se mění malý χ_N

\Rightarrow mapování $S_N(T_N)$ a $I_N(\infty)$

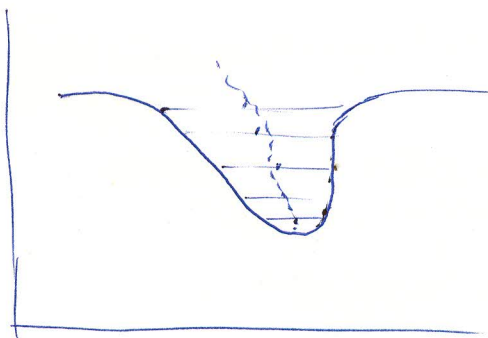


potřebujeme LTE $\Rightarrow S_N = B_N \quad | \quad B_N = B_N(T)$ ~~inverze~~
 (model atmosféry) ~~problém~~

známe-li $T = T(z) \Rightarrow B_N = B_N(z) \Rightarrow S_N = S_N(z)$

cíl pro danou hloubku ve sp. čáře lze stanovit hloubku v atmosféře

oproti modelu lze vyhodnotit rozdíly, posun a asymetrii dárky v závislosti na hloubce v atmosféře



bisekciony

bisekcion (v)

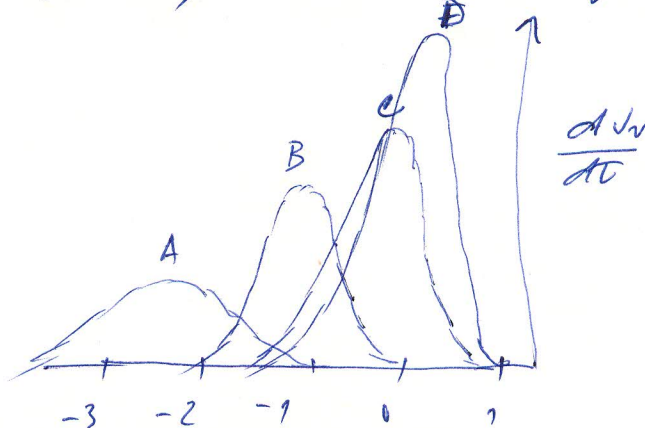
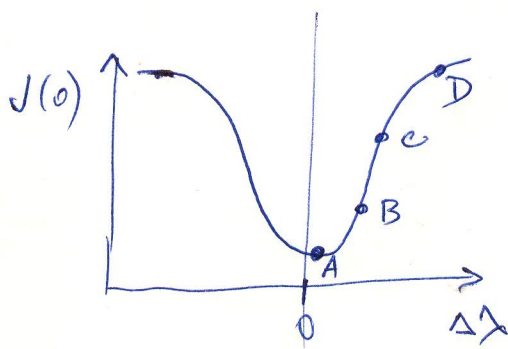
$$\Delta N_0 = N \left(\frac{N_{dip}}{c} \right)$$

→ měříme $\Delta N_0(v) \rightarrow$

$$\left. \begin{array}{l} T = T(z) \\ B_N = B_N(z) \\ J_N = J_N(z) \\ J_N = J_N(\tau) \end{array} \right\} \rightarrow N_{dip}^*(z)$$

ale! mapování

$(N - N_0) \rightarrow \tau$ není jednoznačný



$\frac{dJ_N}{dT}$... příspěvkové funkce

pozor. velmi silné dány (H, k) mají u chladných hvězd často centrální emise. To je proto, že $\tau=1$ je v centru dány dosaženo v chromosféře, kde opět $J_N \uparrow z$.

SLR: Stokes Inversion based on Response functions

$$\chi^2 = \left| \sum_i \left(J_N^i \left(\begin{array}{c} \uparrow \\ \downarrow \end{array} \right) \varphi_i - \overset{\text{model}}{J_N} \left(\begin{array}{c} \uparrow \\ \downarrow \end{array} \right) \varphi_0 \right) \right|^2$$

$J_N \left(\begin{array}{c} \uparrow \\ \downarrow \end{array} \right)$ - RTE, horizontální vertikálně se předpokládá paralelní zrnina
 → 2-7 nodů, zbytek se interpoluje

plane parallel geometry, LTE → fotosféra $0, \nu_i$ skm = 23 =